

自然堆積土の過圧密比に関する一考察

佐賀大学 正員 鬼塚克忠

佐賀大学 学生員 () 洪 振舜

1.まえがき： 自然堆積土は長期間に堆積しており、いろいろな化学反応や二次圧密など複雑な aging効果によって、力学的挙動が堆積期間とともに変化する¹⁾。この aging効果を定量的に評価するため、一つの指標が必要である。Aging によって、自然堆積土の圧密降伏圧力が堆積期間とともに増加する、ほとんどの自然堆積土の過圧密比が1より大きいと報告されている²⁾。普通は、過圧密比が大きいほど、自然堆積土の aging効果が大きくなると考えられてきた。本研究は、自然堆積土の aging効果と過圧密比の関係について考察する。

2.試料の物理性質： 試料は、佐賀県小城町の二ヶ所で地表面以下2mから1.9mまで採取した不攪乱試料である。試料の物理性質は表-1で示す。深さ約1.3mを境にして、上層部は有明粘土、下層部は島原粘土である。有明粘土は自然含水比が液性限界より高く、軟弱な堆積層である。島原粘土は自然含水比が低く、硬い堆積層である。

Table 1 : Basic physical properties

Soil		Ariake clay	Shimabara clay
No. 1	Depth (m)	2.0~12.8	13.0~18.8
	w _L (%)	60.5~77.6	34.2~44.8
	w _P (%)	30.7~41.4	16.9~23.9
	Water content (%)	66.4~114.3	27.5~51.8
	Wet density (KN/m ³)	14.1~15.4	16.7~19.5
No. 2	Depth (m)	2.0~12.8	13.0~18.8
	w _L (%)	65.2~99.9	49.0
	w _P (%)	32.2~40.8	23.2
	Water content (%)	80.2~114.9	30.3~33.0
	Wet density (KN/m ³)	13.9~15.6	18.6~19.2

3.圧密降伏応力と上載圧力の関係： 自然堆積土の e-logp圧縮曲線は逆"S"形になる。このような圧縮曲線は、体積比の自然対数 $\ln(1+e)$ と logp両対数で表示すると、図-1のように二つの直線で表示できる。二つの直線の交点を圧密降伏応力 p_{CL} と定義する。この圧密降伏応力 p_{CL} が従来のCasagrandeの方法によるものに相当する³⁾。地表面以下の深度に対して、二ヶ所の試料の圧密降伏応力 p_{CL} と上載圧力 p_v の分布を、それぞれ図-2と図-3に示す。地表面から3mまで圧密降伏応力 p_{CL} はかなり大きい。これは乾湿の影響によって、表面硬化層が形成されたためと考えられる。3mから約1.3mまで、軟弱の有明堆積層で、圧密降伏圧力も上載圧力より大きい。従って、軟弱地盤にても、圧密降伏応力が堆積時間とともに増加するといえる。1.3mから1.9mまでの島原粘土層で、圧密降伏圧力が上載圧力よりもかなり大きい。従って、島原粘土の aging効果は有明粘土より高いといえる。

堆積環境および堆積年代が同じ堆積層では、aging効果は同じだと考えられる。従って、同じ堆積層の深さに対して、このaging効果を定量的に表す指標は定数であると考えられる。地表面以下の深度に対して、二ヶ所の試料の圧密降伏応力と上載圧力の比(p_{CL}/p_v)あるいは圧密降伏応力と上載圧力の差($p_{CL} - p_v$)分布を、それぞれ図-4と図-5に示す。図のように、有明粘土層の過圧密比(p_{CL}/p_v)は深度の増加によって減少する。従

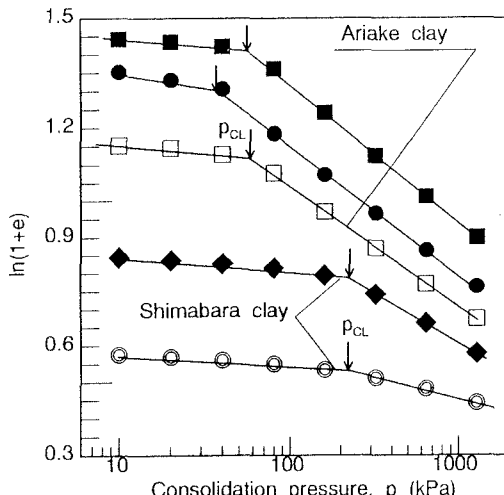


FIG.1 COMPRESSION CURVES FOR NATURAL SOILS IN THE $\ln(1+e)$ -log PLOT

って、この有明粘土層の aging効果は過圧密比で表現できない。しかし、有明粘土層の圧密降伏応力 p_{CL} と上載圧力 p_{vo} の差 ($p_{CL} - p_{vo}$) は、深度とは関係なく、定数になる。従って、この有明粘土層の aging効果は圧密降伏応力 p_{CL} と上載圧力 p_{vo} の差 ($p_{CL} - p_{vo}$) で表現するとよい。一方、島原粘土層の圧密降伏応力 p_{CL} と上載圧力 p_{vo} の比 (p_{CL}/p_{vo}) は、深度とは関係なく、定数になる。従って、この島原粘土層の土構造のaging効果は圧密降伏応力 p_{CL} と上載圧力 p_{vo} の比 (p_{CL}/p_{vo}) で表現するとよい。

一般に、圧密降伏応力 p_{CL} の値は乱れの影響を受けて、現場の圧密降伏応力より低い。さらに、図-4と図-5のように、採取深度に対して有明粘土層の ($p_{CL} - p_{vo}$) の分布と島原粘土層の (p_{CL}/p_{vo}) の分布は若干ばらつきが見える。これは主に乱れの原因と考えられる。

4. むすび： 本研究は、自然堆積土の aging効果を定量的に表すために、agingにより圧密降伏応力と上載圧力の関係を考察した。圧密降伏応力は上載圧力の増加とともに直線的に増加する場合 aging効果は圧密降伏応力 p_{CL} と上載圧力 p_{vo} の比 (p_{CL}/p_{vo}) で表せると考えられる。一方、圧密降伏応力と上載圧力の差は一定になる場合、土構造のaging効果は圧密降伏応力 p_{CL} と上載圧力 p_{vo} の差 ($p_{CL} - p_{vo}$) で表現できると考える。

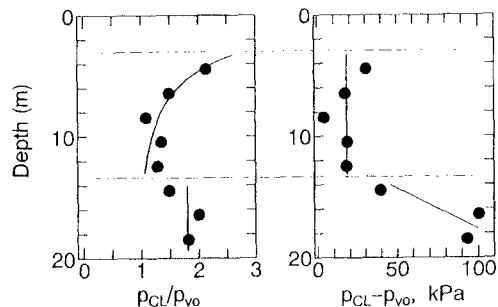


FIG.4 RELATIONSHIP BETWEEN p_{CL} AND p_{vo} FOR NO.1
 p_{CL} =yield stress, p_{vo} =overburden pressure

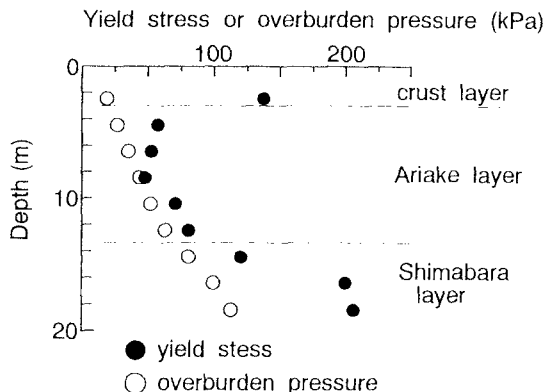


FIG.2 YIELD STRESS AND OVERRIDDEN PRESSURE FOR NO.1

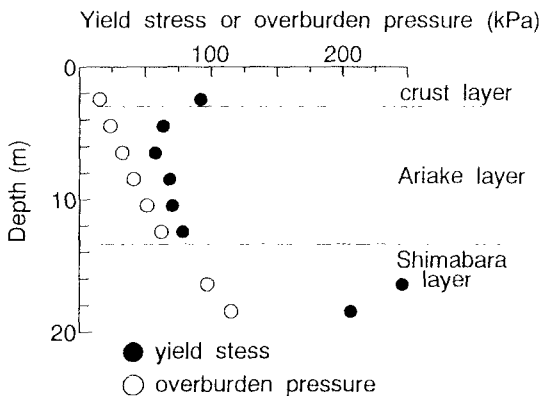


FIG.3 YIELD STRESS AND OVERRIDDEN PRESSURE FOR NO.2

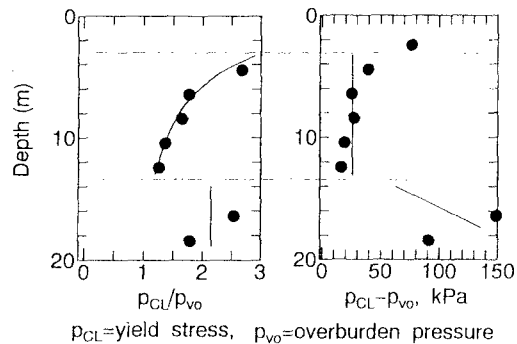


FIG.5 RELATIONSHIP BETWEEN p_{CL} AND p_{vo} FOR NO.2
 p_{CL} =yield stress, p_{vo} =overburden pressure

参考文献： 1) Leroueil et al. (1990). The general and congruent effects of structure in natural soils and weak rocks," Geotechnique, Vol. 40, pp. 467-488. 2) Schmertmann (1991). The mechanical aging of soils, ASCE, Vol. 117, GT9, pp. 1288-1330. 3) Onitsuka et al. (1995). Interpretation of oedometer test data for natural clays, Soils and Foundations, Vol. 35, No. 3, pp. 61-70.